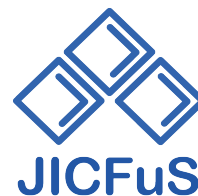


格子シミュレーションによる細谷機構の解明

野秋淳一 (KEK)



in collaboration with

G. Cossu (KEK)

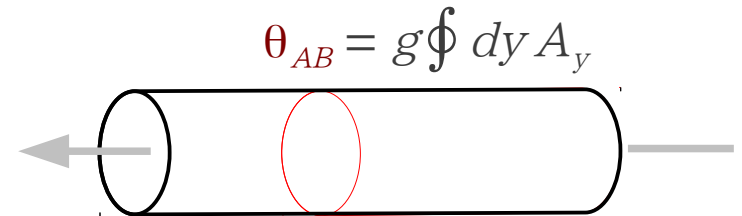
幡中久樹 (大阪大 → KIAS)

細谷裕 (大阪大)

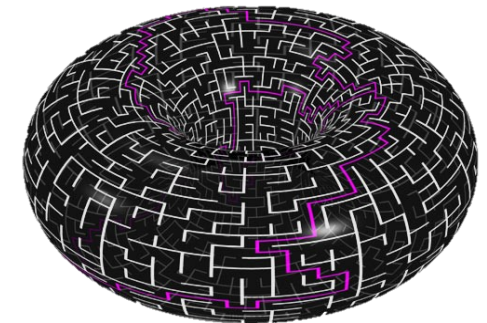
伊藤悦子 (KEK)

paper in preparation

- 余剰次元がコンパクト化された (非可換) ゲージ理論
 - ▶ Aharonov-Bohm 位相がゲージ場、フェルミオン場に質量を与える
 - ▶ AB 位相の 4 次元のゆらぎ = Higgs 場
 - ▶ BSM の可能性 (gauge-Higgs unification)
Hatanaka, Inami and Lim, 1998; etc.



- 細谷機構 = AB 位相のダイナミクス
 - ▶ 摂動 (1-loop): $V_{\text{eff}}(\theta_{AB}) \rightarrow$ ゲージ対称性の破れを予言 Hatanaka & Hosotani 2011
 - ▶ 非摂動的な解明: 格子ゲージ理論による数値シミュレーション
 - コンパクト化された格子上で
Polyakov loop $P = N^{-1} \text{Tr} \exp(i \theta_{AB})$ を計算



SU(N) gauge theory on $R^{d-1} \times S^1$

- 連続理論 (adjoint + fundamental representations)

$$\mathcal{L} = -\frac{1}{2} \text{Tr} F_{MN} F^{MN} + \bar{\psi}_f (\mathcal{D}_f - m_f) \psi_f + \text{Tr} \bar{\psi}_{\text{ad}} (\mathcal{D}_{\text{ad}} - m_{\text{ad}}) \psi_{\text{ad}}$$

mass of KK modes $(A_M^{(n)})_{jk} : m_n^2 = \frac{1}{R^2} \left(n + \frac{\theta_j - \theta_k}{2\pi} \right)^2, \quad \theta_j \neq \theta_k \rightarrow \text{gauge symm}$

$(j, k = 1, \dots, N)$

$(\psi_f)_j : m_n^2 = \frac{1}{R^2} \left(n + \frac{\theta_j + \alpha_f}{2\pi} \right)^2 + m_f^2,$

$(\psi_{\text{ad}})_{jk} : m_n^2 = \frac{1}{R^2} \left(n + \frac{\theta_j - \theta_k + \alpha_{\text{ad}}}{2\pi} \right)^2 + m_{\text{ad}}^2$

- 格子理論: 2つの独立な焦点

- ▶ 格子上の 4+1 次元 gauge 理論: 定式化、連続極限、コスト、etc.
- ▶ 細谷機構の有無 (時空次元に依らない、場の理論としての性質)
- $d=4, N=3$ による数値シミュレーション (non-trivial で最も簡単, cf. 有限温度 QCD)
- Polyakov loop のふるまいを調べ、パラメータ空間で相図を描く
- 摂動による予言との比較

もくじ

- インTRODクシヨン
- ゲージ対称性の破れと Polyakov loop
- 数値シミュレーション
- 摂動論との比較、相図
- 議論および今後の可能性

AB 位相と Polyakov loop

- SU(3) : $\theta_1, \theta_2, \theta_3 = -\theta_1 - \theta_2$

▶ Wilson line $W = P \exp \left\{ ig \int_0^{2\pi R} dy A_y \right\} \rightarrow \text{diag} \{ e^{i\theta_1}, e^{i\theta_2}, e^{i\theta_3} \}$

• fundamental rep. $P_3 = \frac{1}{3} \text{Tr} W_3 = \frac{1}{3} \{ e^{i\theta_1} + e^{i\theta_2} + e^{i\theta_3} \}$

• adjoint rep. $P_8 = \frac{1}{8} \text{Tr} W_8 = \frac{1}{4} \left\{ 1 + \cos(\theta_1 - \theta_2) + \cos(\theta_2 - \theta_3) + \cos(\theta_3 - \theta_1) \right\}$

- 可能な破れのパターン

$$(A_M^{(n)})_{jk} : m_n^2 = \frac{1}{R^2} \left(n + \frac{\theta_j - \theta_k}{2\pi} \right)^2$$

▶ **A**: SU(3) $(\theta_1, \theta_2, \theta_3) = (0, 0, 0), (\pm 2\pi/3, \pm 2\pi/3, \pm 2\pi/3)$

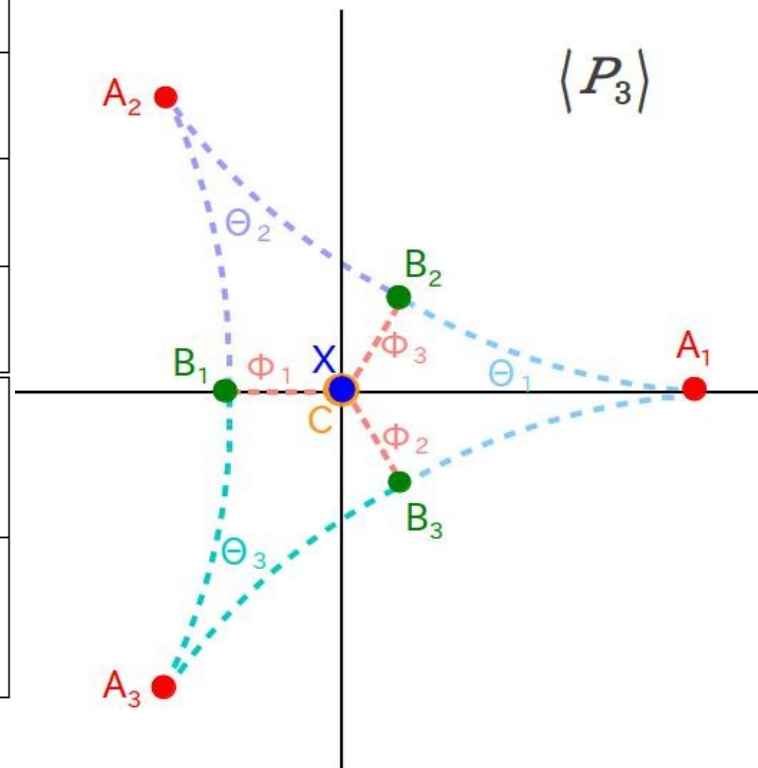
▶ **B**: SU(2)×U(1) $(\theta_1, \theta_2, \theta_3) = (0, \pi, \pi), (\pm 2\pi/3, \mp \pi/3, \mp \pi/3)$

▶ **C**: U(1)×U(1) $(\theta_1, \theta_2, \theta_3) = (0, 2\pi/3, -2\pi/3)$

それぞれに P_3, P_8 の値も決まる

Polyakov loop による相分類

	$(\theta_1, \theta_2, \theta_3)$ with permutations	P_3	P_8	Symmetry Phase
X	Large quantum fluctuations	0	$-\frac{1}{8}$	$SU(3)$ confined
A_1 $A_{2,3}$	$(0, 0, 0)$ $(\pm\frac{2}{3}\pi, \pm\frac{2}{3}\pi, \pm\frac{2}{3}\pi)$	1 $e^{\pm 2\pi i/3}$	1	$SU(3)$ deconfined
B_1 $B_{2,3}$	$(0, \pi, \pi)$ $(\pm\frac{2}{3}\pi, \mp\frac{1}{3}\pi, \mp\frac{1}{3}\pi)$	$-\frac{1}{3}$ $\frac{1}{3}e^{\mp\pi i/3}$	0	$SU(2) \times U(1)$ split
C	$(0, \frac{2}{3}\pi, -\frac{2}{3}\pi)$	0	$-\frac{1}{8}$	$U(1) \times U(1)$ reconfined
$\Theta_1(a)$ $\Theta_{2,3}(a)$	$(-2a, a, a)$ $(-2a \pm \frac{2}{3}\pi, a \pm \frac{2}{3}\pi, a \pm \frac{2}{3}\pi)$ $(0 < a < \frac{1}{3}\pi)$	$\frac{1}{3}(2e^{ia} + e^{-2ia})$ $\frac{1}{3}e^{\pm 2\pi i/3}(2e^{ia} + e^{-2ia})$	$\frac{1}{2}(1 + \cos 3a)$	$SU(2) \times U(1)$
$\Phi_1(b)$ $\Phi_{2,3}(b)$	$(0, b, -b)$ $(\pm\frac{2}{3}\pi, b \pm \frac{2}{3}\pi, -b \pm \frac{2}{3}\pi)$ $(\frac{2}{3}\pi < b < \pi)$	$\frac{1}{3}(1 + 2\cos b)$ $\frac{1}{3}e^{\pm 2\pi i/3}(1 + 2\cos b)$	$\frac{1}{2}\cos b(1 + \cos b)$	$U(1) \times U(1)$



格子上で求めた $\langle P_3 \rangle, \langle P_8 \rangle$ から $(\theta_1, \theta_2, \theta_3)$ を読みとることができる。

格子計算

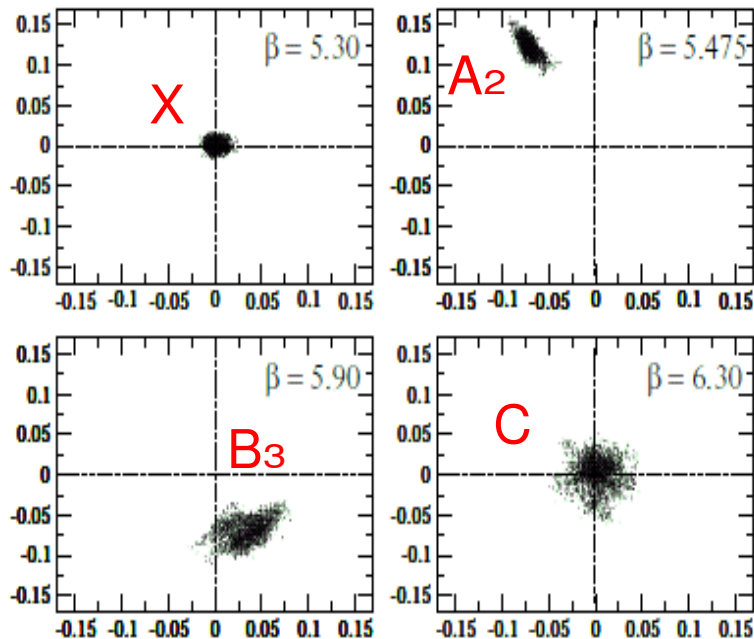
- Polyakov loop = リンクの積

$$P_3 = \frac{1}{3N_x^3} \sum_x \text{Tr} W_3 = \frac{1}{3N_x^3} \sum_x \text{Tr} \prod_{y=1}^{N_y} \underline{U_{(x,y),4}}$$

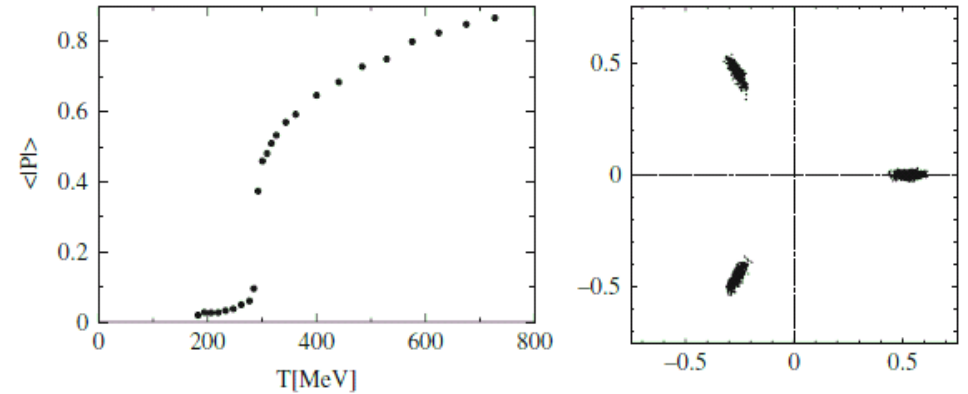
リンク変数

- 先行研究 (?) Cossu & D'Elia 2010

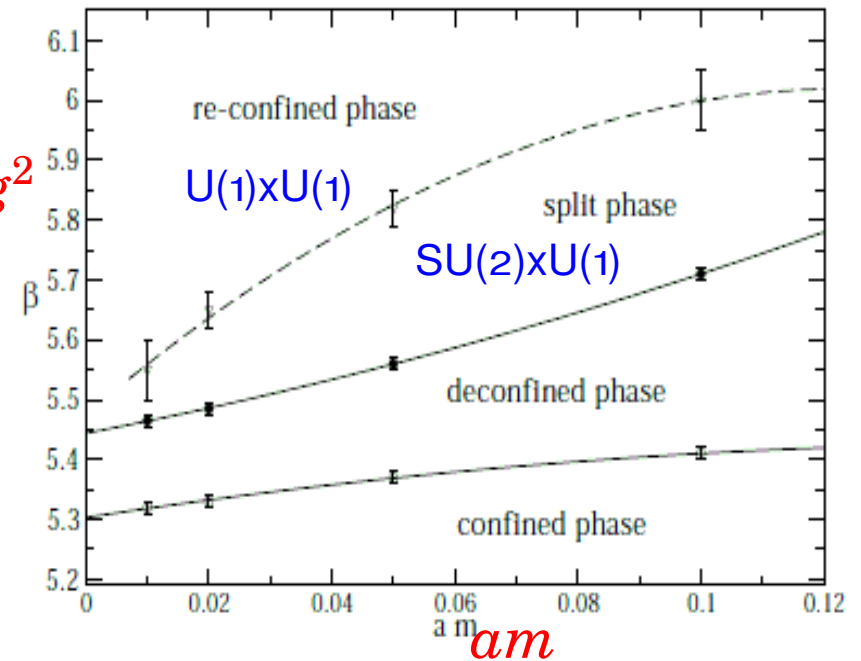
- ▶ (N_d, N_f) = (2, 0), staggered fermion



cf. pure gauge : confined / deconfined transition



$$\beta = 6/g^2$$



戦略

● 2 種類の数値シミュレーション (第一原理計算)

▶ adjoint case: $(N_{ad}, N_f) = (2, 0)$

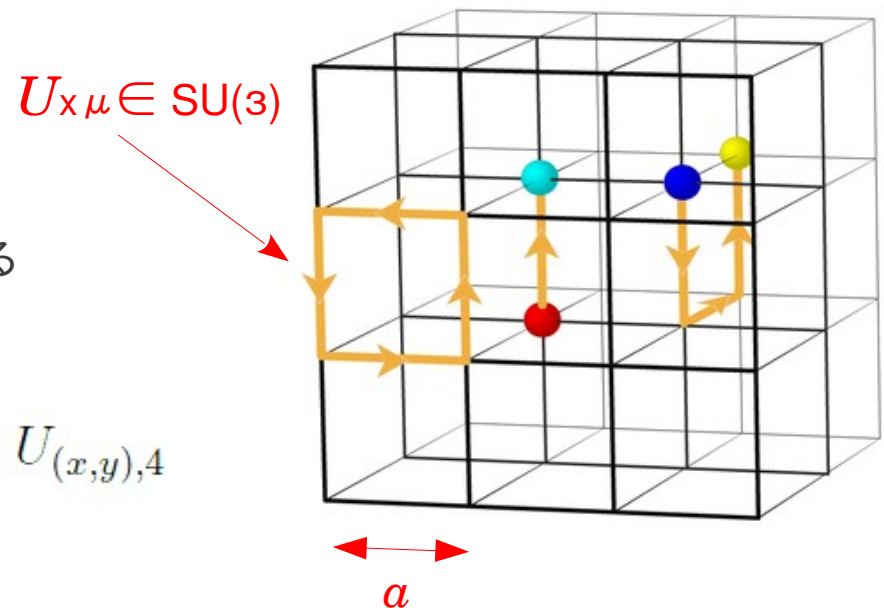
- gauge symmetry breaking を起こす源
- Coss & D'Elia と同様のセットアップからはじめる

▶ fundamental case: $(N_{ad}, N_f) = (0, 4)$

- non-trivial な境界条件 $e^{-i\alpha} U_{(x, y+N_y), 4} = U_{(x, y), 4}$
- α : orbifold 余剰次元に関係

● セットアップ

- ▶ 格子体積 $16^3 \times 4$ に固定 → 弱結合領域で極端に狭い
- ▶ 格子フェルミオン: staggered fermions
→ フレーバーの選択肢が少ない



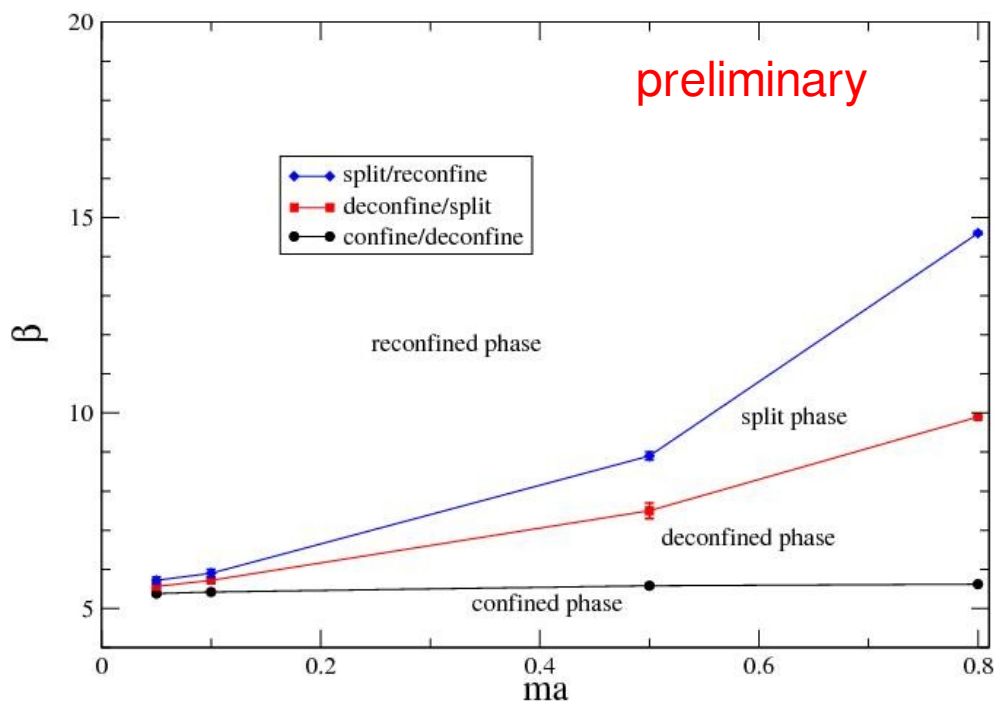
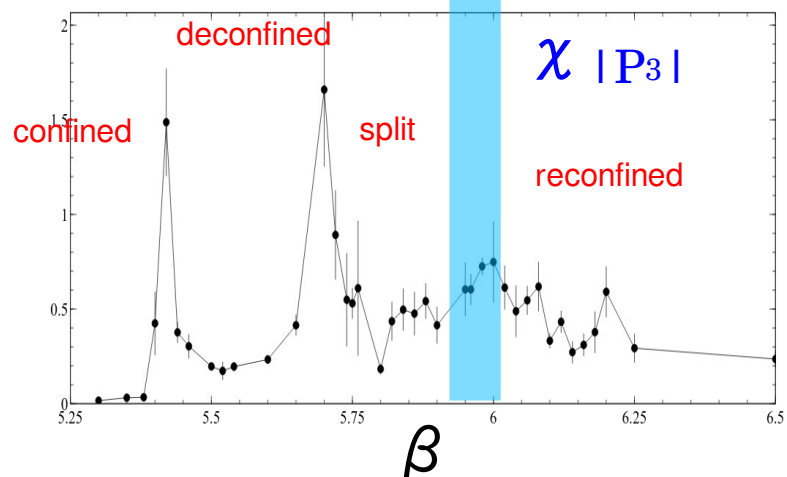
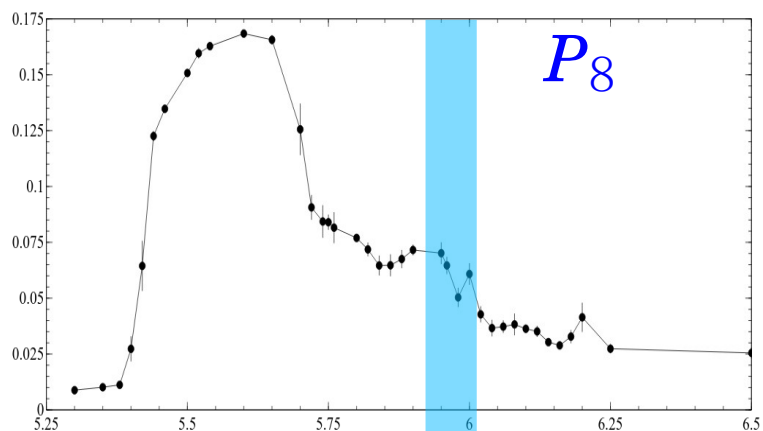
A C++ code system for lattice gauge theory

http://suchix.kek.jp/guido_cossu/documents/DoxyGen/html/index.html

Adjoint case

- Polyakov loop および (大きさの) 感受率ピークで相の境目を決める

$ma = 0.10$

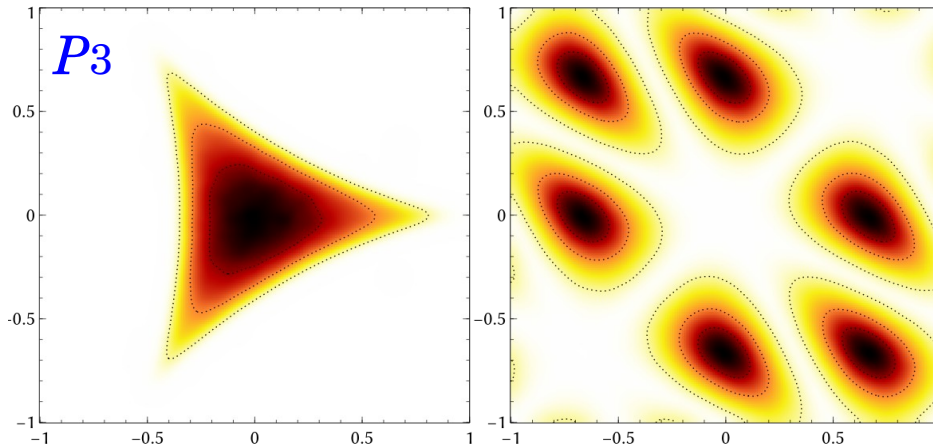


Adjoint case (2)

- あるゲージ配位について、 P_3 とその固有値の density plot

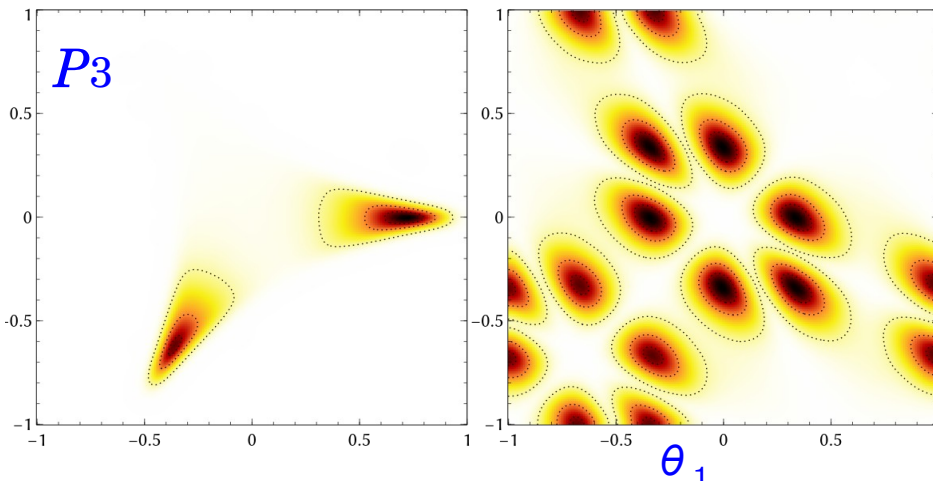
$\beta = 5.30$, confined

N.B. Harr measure $\prod_{j>k} \sin^2 \frac{\theta_j - \theta_k}{2}$ のため、 $\theta_i \neq \theta_j$

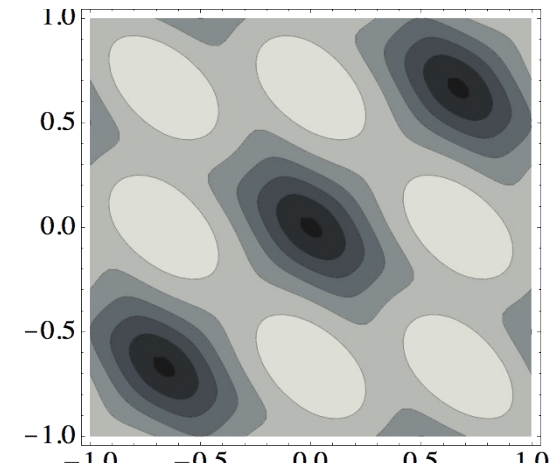


[摂動で扱えない]

$\beta = 5.54$, deconfined

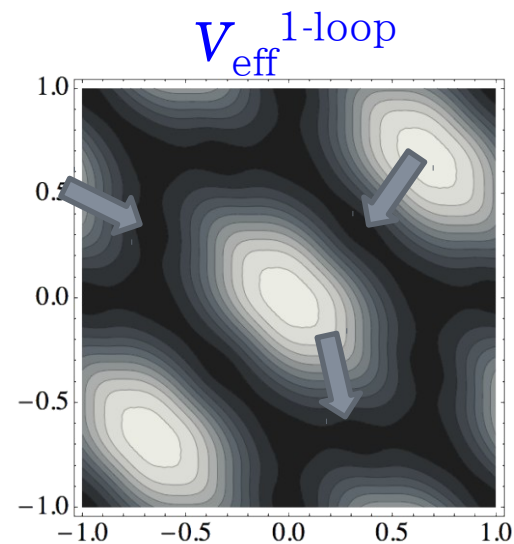
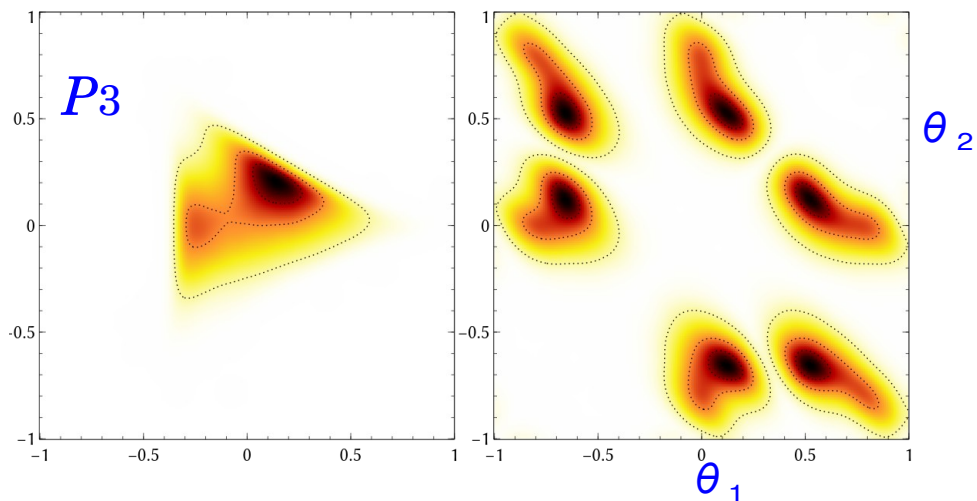


$V_{\text{eff}}^{\text{1-loop}}$

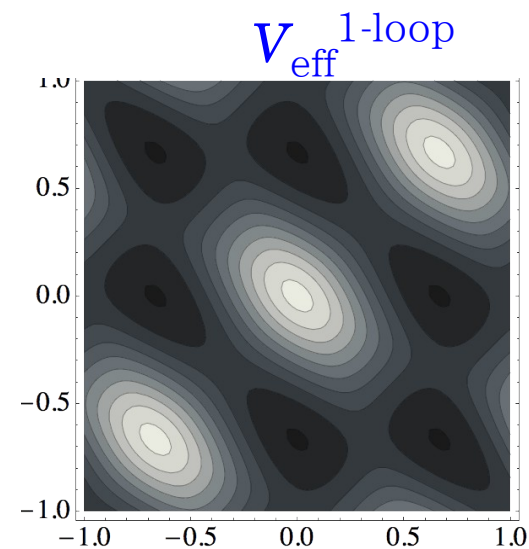
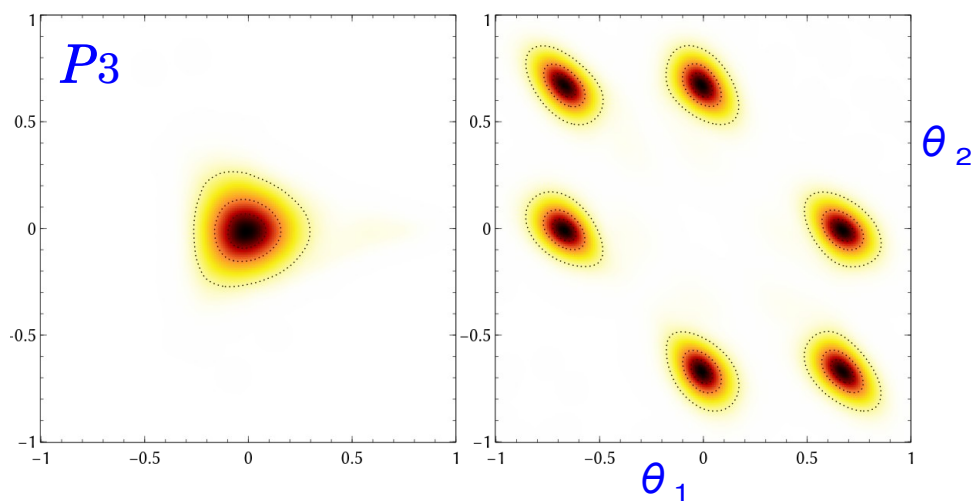


Adjoint case (3)

$\beta = 5.95$, split $SU(2) \times U(1)$



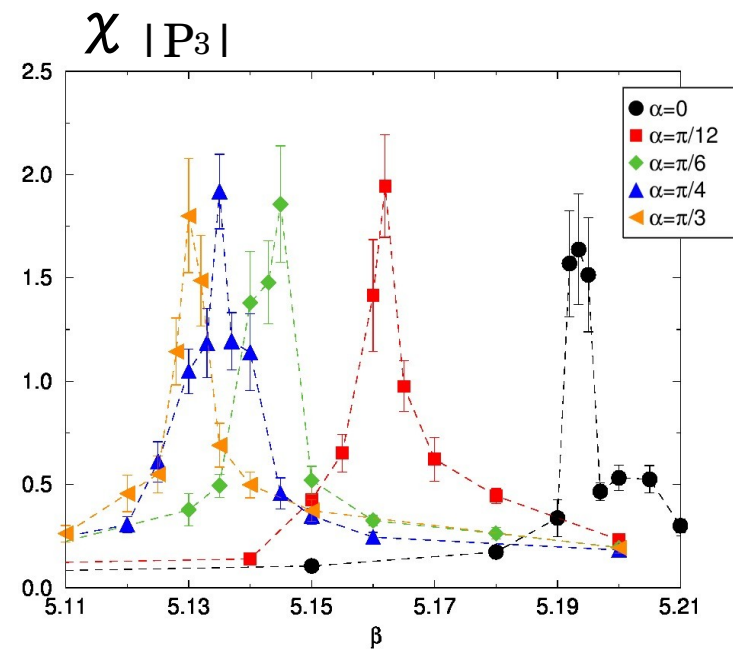
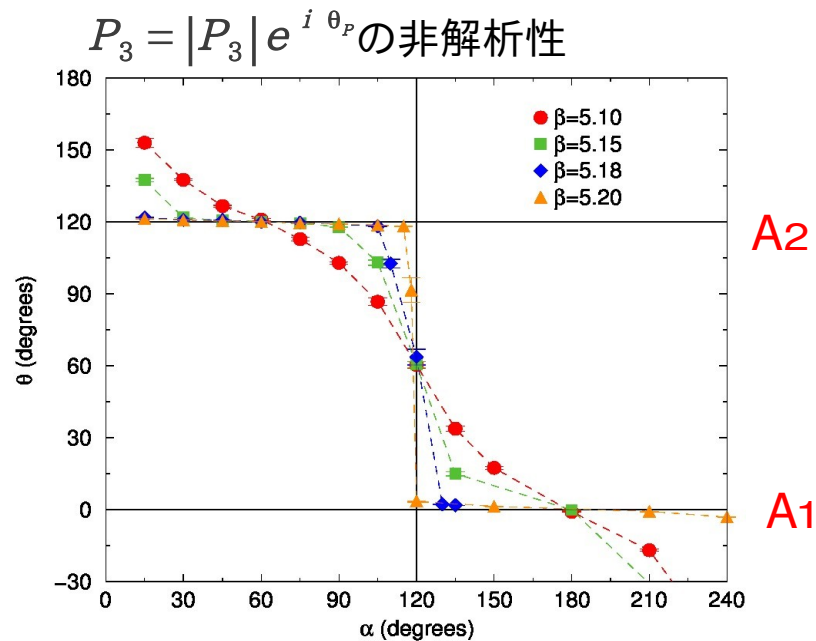
$\beta = 6.50$, reconfined $U(1) \times U(1)$



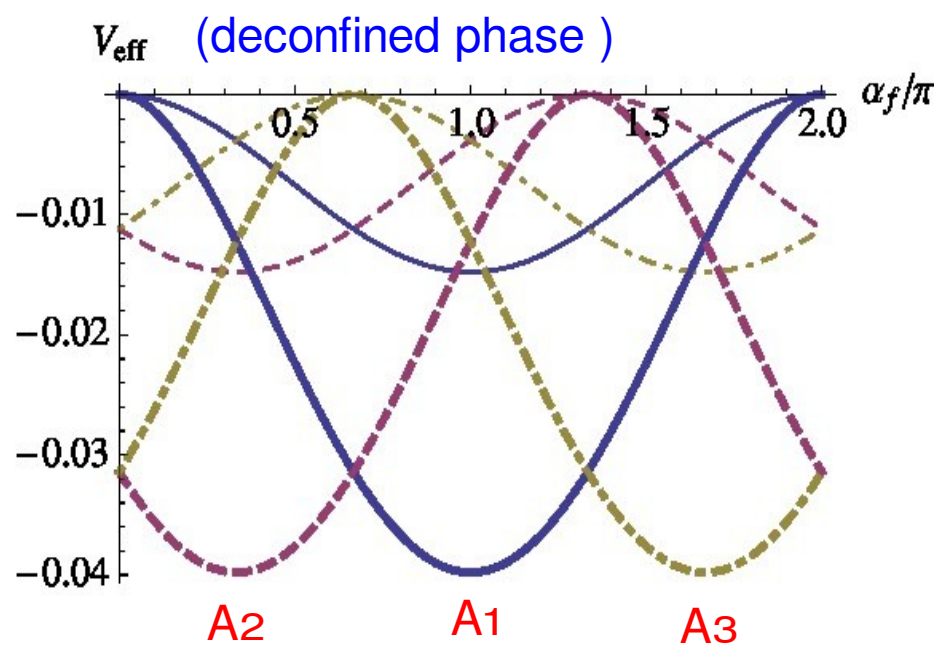
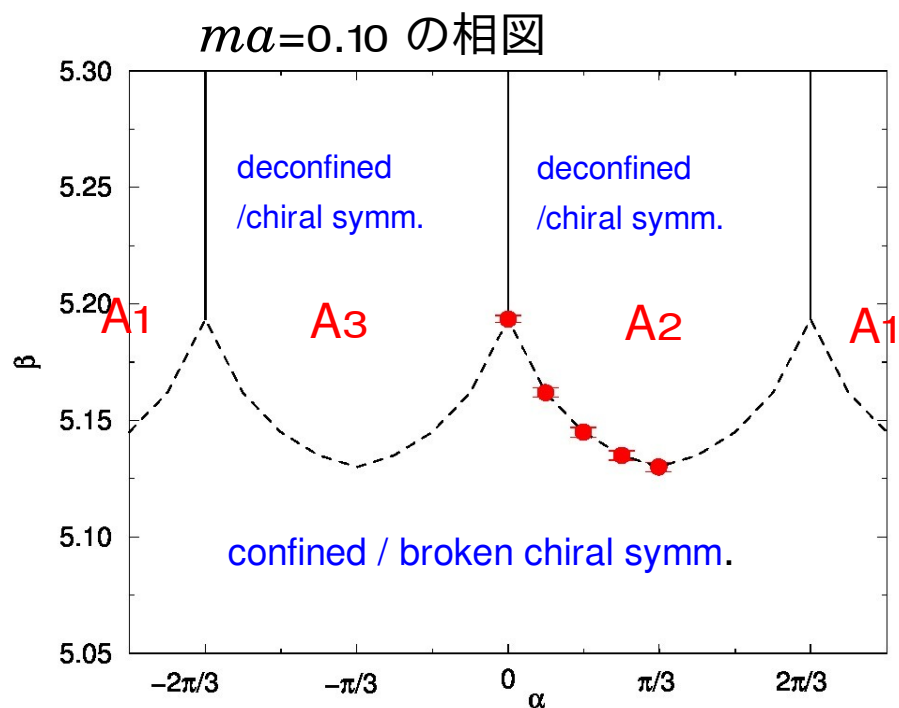
格子データは摂動の予言どおりに振る舞う

Fundamental case

- 虚数化学ポテンシャルの入った QCD と等価: $\mu_l = (\pi - \alpha)/4$
 - ▶ すでに相構造は知られている Roberge & Weiss, 1986
 - ▶ 定量的に相図も得られている de Forcrand & Philipsen, 2002; D'Elia & Lombardo, 2003
 - ▶ 我々のセットアップにあわせ、Polyakov loop のみで相図を決定し直した



Fundamental case (2)

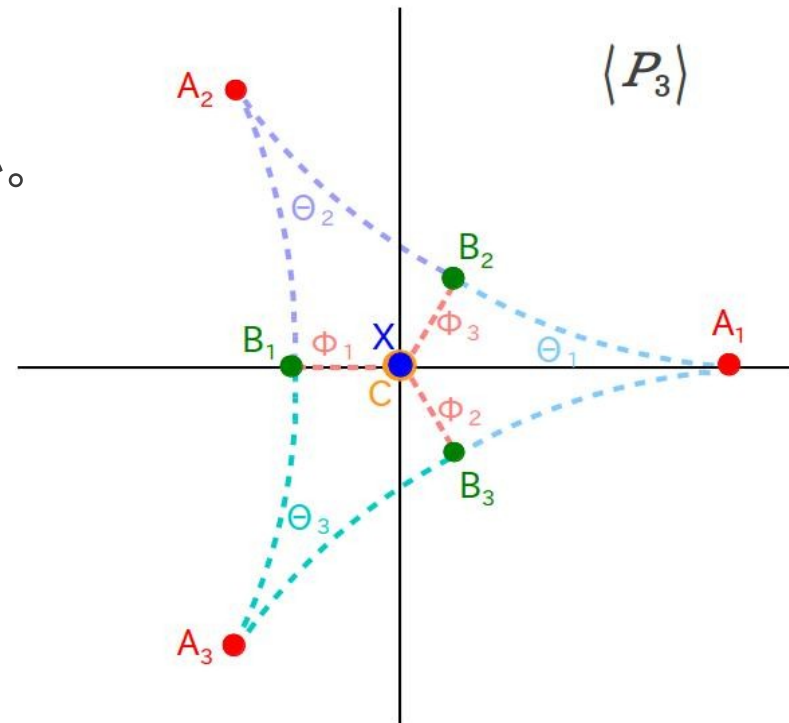


Roberge & Weiss の議論は分配関数に基づくので、両者の一致は当然のこと

ここまでのまとめ

- 非可換ゲージ対称性は細谷機構によって非摂動的に破れるか？
- 格子ゲージ理論による数値シミュレーション
 - ▶ 3-dim. spacetime + 1-compact dim. with $SU(3)$
 - ▶ $(N_{ad}, N_f) = (2,0), (0,4)$ それぞれの場合について、AB 位相のふるまいを Polyakov loop によって調べた。
 - ▶ 摂動による予言とよく一致するふるまい。
 - 特に重要なのは、split phase (B) と reconfinet phase (C) の存在であった

初動としては、まずまず



今後の方針 1 : 複合的な物質場

- $N_{ad} > 0, N_f > 0$ の場合 **ongoing**

- ▶ 摂動による予言へのケーススタディを増やす
- ▶ Z_3 対称性が陽に破れるので、真空がユニークに決まる
- ▶ パラメータの数と領域が増える分調べるのは大変

- staggered fermion :

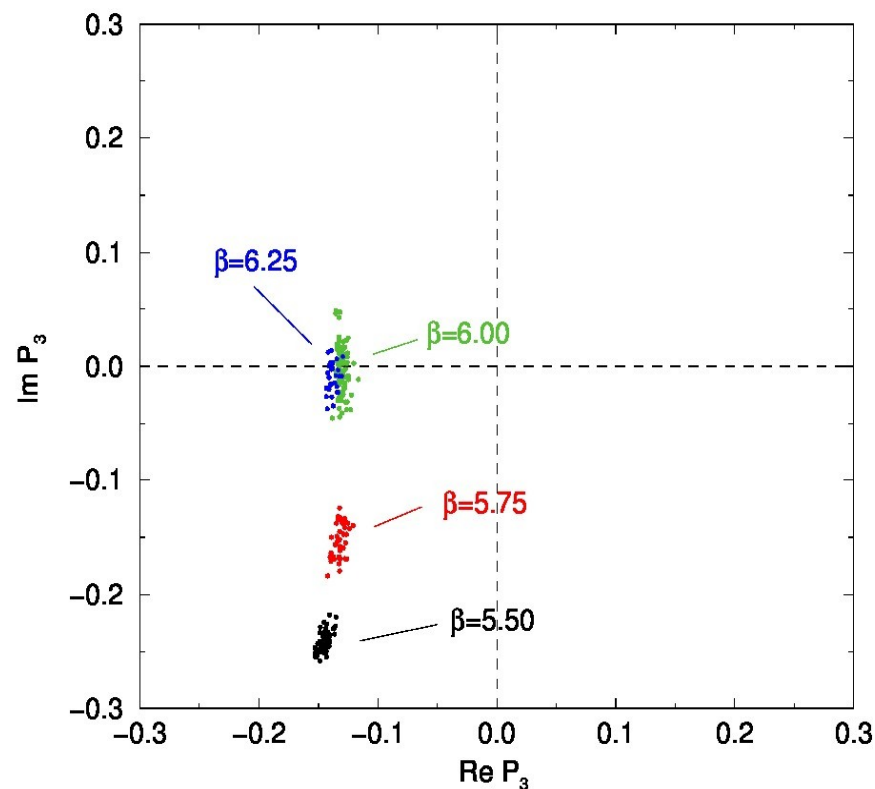
$$(N_{ad}, N_f) = (2,4), (4,4), (2,8), \dots$$

- $\beta, am_{ad}, am_f, \alpha$

- 罫 : $(N_{ad}, N_f) = (2,4),$

$$am_{ad} = am_f = 0.10,$$

$$\alpha = 0.0$$



今後の方針 2 : 体積効果と連続極限

- "細谷機構は摂動を越えて存在するか?" に明確に答えるには?

- ▶ $\beta \rightarrow \text{large: finer lattice}$ $a \propto \left(\frac{\beta}{6b_0}\right)^{b_1/2b_0^2} \exp\left(-\frac{\beta}{12b_0}\right)$

単一格子サイズ ($16^3 \times 4$) では物理サイズを一定にできない

- ▶ ステップ 1: 物理サイズ一定のシミュレーション

- なんらかの物理量 (eg. string tension) を一定に保つように複数格子サイズでシミュレーションを行う

- ▶ ステップ 2: 無限体積極限 (ステップ 1 をくりかえし、外挿)

- 物理体積に対する感受率のスケーリング → 相転移次数

cf. 2+1 flavor QCD : 有限温度相転移は相転移ではなく、クロスオーバー

Budapest+Wuppertal Collab. Aoki et al. Nature 443 (2006)

- 莫大なコスト、われわれのゴールはどこか?

今後の方針 3 : 発展

● スペクトラム

▶ A4 (= Higgs) の質量

- 有限の質量を持つことが重要
- 手法 (interpolating operator, gauge etc) を検討中

▶ fermionic な物理量?

- たとえば split phase (SU(2)xU(1)) では SU(2) singlet が有限値?

● orbifold コンパクト次元

▶ BSM をより現実的に考えるヒントに

▶ しかし、カイラルフェルミオンが必要、何かバイパス?

$$(A_M^{(n)})_{jk} : m_n^2 = \frac{1}{R^2} \left(n + \frac{\theta_j - \theta_k}{2\pi} \right)^2,$$

$$(\psi_f)_j : m_n^2 = \frac{1}{R^2} \left(n + \frac{\theta_j + \alpha_f}{2\pi} \right)^2 + m_f^2,$$

$$(\psi_{ad})_{jk} : m_n^2 = \frac{1}{R^2} \left(n + \frac{\theta_j - \theta_k + \alpha_{ad}}{2\pi} \right)^2 + m_{ad}^2$$